

Schéma éléments finis mixtes-volumes finis pour un modèle d'écoulements eau-gaz en milieux poreux

B. Amaziane, M. Dymitrowska, M. El Ossmani, et C. Serres

Journée Scientifique du GdR MoMaS
9 Octobre, 2006 Pau

- **MODÈLE MATHÉMATIQUE**
- DISCRÉTISATION EFMH
- **DISCRÉTISATION VF**
- STABILITÉ L^∞ ET ESTIMATIONS BV
- **RÉSULTATS DE CONVERGENCE**
- RÉSULTATS NUMÉRIQUES
- **CONCLUSION ET PERSPECTIVES**

On considère un modèle d'écoulement diphasique eau-gaz :

$$(S) \left\{ \begin{array}{l} \text{Trouver } (S_w, S_g, P_w, P_g, \vec{q}_w, \vec{q}_g) \in \Omega \times]0, \tau] \text{ tq :} \\ \frac{\partial}{\partial t} (\phi \rho_w S_w) + \text{div} (\rho_w \vec{q}_w) = 0, \quad (i) \\ \frac{\partial}{\partial t} (\phi \rho_g S_g) + \text{div} (\rho_g \vec{q}_g) = \rho_g Q_g, \quad (ii) \\ \vec{q}_w = -\frac{k_{r,w}}{\mu_w} \mathbf{K}(\mathbf{x}) (\nabla P_w - \rho_w \vec{g}), \\ \vec{q}_g = -\frac{k_{r,g}}{\mu_g} \mathbf{K}(\mathbf{x}) (\nabla P_g - \rho_g \vec{g}), \\ P_g - P_w = P_c(S_w), \\ S_w + S_g = 1, \end{array} \right.$$

- la loi de van Genuchten

$$P_c(S_w) = \frac{1}{\beta} \left(\frac{1}{S_{w,e}^m} - 1 \right)^{\frac{1}{n}}, \quad k_{r,w} = \sqrt{S_{we}} \left[1 - \left(1 - S_{we}^{1/m} \right)^m \right]^2,$$

$$k_{r,g} = (1 - S_{we})^{1/p} \left[1 - S_{we}^{1/m} \right]^{2m}.$$

- la mobilité de la phase $\alpha = w, g$

$$\lambda_\alpha = \lambda_\alpha(S) = \frac{k_{r,\alpha}}{\mu_\alpha}$$

- la mobilité totale $\lambda = \lambda_w + \lambda_g$
- la moyenne harmonique des mobilités

$$\bar{\lambda} = \bar{\lambda}(S) = \frac{\lambda_w(S)\lambda_g(S)}{\lambda_w(S) + \lambda_g(S)}$$

- la fonction du flux fractionnaire

$$f_\alpha = f_\alpha(S) = \frac{\lambda_\alpha}{\lambda}$$

- la vitesse totale $\vec{q} = \vec{q}_w + \vec{q}_g$
- la pression globale $P = \frac{P_w + P_g}{2} + \gamma(S)$

$$\gamma(S) = \frac{P_c(S)}{2} + \int_S^1 f_w P'_c(\xi) d\xi,$$

$$\lambda \nabla P = \lambda_w \nabla P_w + \lambda_g \nabla P_g$$

$$\vec{q} = -K(x)\lambda(\nabla P - \bar{\rho}\vec{g}), \quad \bar{\rho} = \frac{\lambda_w \rho_w + \lambda_g \rho_g}{\lambda}$$

$$\frac{(i)}{\rho_w} + \frac{(ii)}{\rho_g} : \operatorname{div} \vec{q} = -\frac{\partial \phi}{\partial t} - \sum_{\alpha=w}^{\alpha=g} \frac{1}{\rho_\alpha} \left(\phi S_\alpha \frac{\partial \rho_\alpha}{\partial t} + \vec{q}_\alpha \cdot \nabla \rho_\alpha \right) + Q_g.$$

$$\frac{1}{\rho_g} \frac{\partial \rho_g}{\partial t} = \beta_g \left(\frac{\partial P}{\partial t} + (1 - f_g) \frac{\partial P_c}{\partial t} \right)$$

$$\frac{1}{\rho_w} \frac{\partial \rho_w}{\partial t} = \beta_w \left(\frac{\partial P}{\partial t} - (1 - f_w) \frac{\partial P_c}{\partial t} \right)$$

$$\frac{1}{\rho_g} \nabla \rho_g = \beta_g (\nabla P + (1 - f_g) \nabla P_c),$$

$$\frac{1}{\rho_w} \nabla \rho_w = \beta_w (\nabla P - (1 - f_w) \nabla P_c),$$

$$\beta_\alpha = \frac{1}{\rho_\alpha} \frac{\partial \rho_\alpha}{\partial P_\alpha}.$$

$$\operatorname{div} \vec{q} = -\frac{\partial \phi}{\partial t} - \phi(S_w \beta_w + S_g \beta_g) \frac{\partial P}{\partial t} - \phi(S_g \beta_g f_w - S_w \beta_w f_g) \frac{\partial P_c}{\partial t} \\ + (\beta_g \vec{q}_g + \beta_w \vec{q}_w) \cdot \nabla P + (\beta_g f_w \vec{q}_g - \beta_w f_g \vec{q}_w) \cdot \nabla P_c + Q_g,$$

ou encore

$$\operatorname{div} \vec{q} + \phi(S_w \beta_w + S_g \beta_g) \frac{\partial P}{\partial t} = -\frac{\partial \phi}{\partial t} + Q_g - \cancel{\phi(S_g \beta_g f_w - S_w \beta_w f_g) \frac{\partial P_c}{\partial t}} \\ \cancel{(\beta_g f_w \vec{q}_g - \beta_w f_g \vec{q}_w) \cdot \nabla P_c} \\ \cancel{(\beta_g \vec{q}_g + \beta_w \vec{q}_w) \cdot \nabla P}.$$

Si on suppose que $\rho_w = \text{Cte}$ (l'eau est incompressible) et que $\rho_g = \sigma_g P_g$ (gaz parfait)

- Pression globale

$$\begin{cases} \vec{q} = -\mathbf{K}(\mathbf{x})\Lambda(S) (\nabla P - \bar{\rho}\vec{g}), & \text{dans } \Omega \times]0, \tau] \\ \beta(P, S) \frac{\partial P}{\partial t} + \text{div } \vec{q} = Q_g & \text{dans } \Omega \times]0, \tau] \end{cases}$$

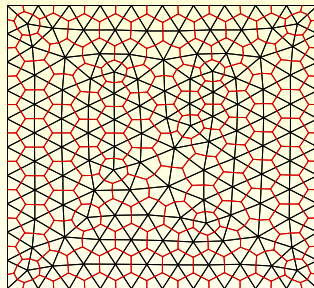
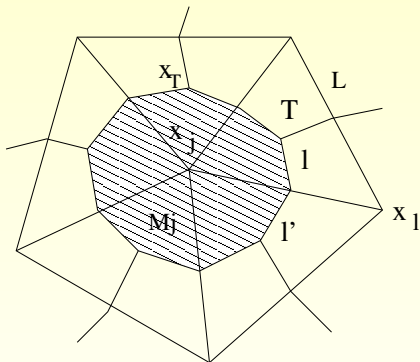
$$\beta(P, S) = \phi \frac{1 - S}{P - \eta(S)} + \frac{\partial \phi}{\partial P}$$

$$\eta(S) = \int_S^1 f_w(\xi) P'_c(\xi) d\xi$$

- Saturation en eau

$$\begin{aligned} \frac{\partial}{\partial t} (\phi \rho_w S) + \text{div} [\rho_w f_w \vec{q} + \rho_w \bar{\lambda}(S) \mathbf{K}(\mathbf{x}) (\rho_w - \rho_g) \vec{g}] \\ - \text{div} (\rho_w \mathbf{K}(\mathbf{x}) \nabla \alpha(S)) = 0 \quad \text{dans } \Omega \times]0, \tau] \end{aligned}$$

$$\alpha(S) = - \int_0^S \bar{\lambda}(\xi) P'_c(\xi) d\xi$$



Maillage dual de Voronoï

- $\Lambda_h = (T_i)_{i=0,\dots,N_e}$ triangulation admissible de $\bar{\Omega}$.
- $\Sigma_h = (M_i)_{i=0,\dots,N_s}$ Maillage dual de Voronoï.

Soit $(\mathcal{T}_h)_{h>0}$ une triangulation régulière de Ω .

$T \in (\mathcal{T}_h)_{h>0}$: triangle, $L \in T$ arête de T . On pose : $\beta = \frac{\beta^n}{\Delta t^n}$,

$P^{n+1} = P$, $\vec{q}^{n+1} = \vec{q}$, $Q = Q_g^{n+1} + P^n \frac{\beta_t^n}{\Delta t^n}$, $A(x) = \Lambda^n K$,

$P_D^{n+1} = P_D$ et $q_N^{n+1} = q_N$, avec $P = P_D/\Gamma_D$ et $\vec{q} \cdot \vec{n} = q_N/\Gamma_N$

$$\left\{ \begin{array}{l} \int_T A^{-1} \vec{q}_h \cdot \vec{s}_h \, dT - \int_T P_h \operatorname{div} \vec{s}_h \, dT + \sum_{L \in \mathcal{T}} \int_L \lambda_h \vec{s}_h \cdot \vec{n} \, dL = 0 \quad \forall \vec{s}_h \in RT_0 \\ \int_T \beta P_h w_h \, dT + \int_T w_h \operatorname{div} \vec{q}_h \, dT = \int_T Q w_h \, dT \quad \forall w_h \in M^h \\ \sum_{T \in \mathcal{T}_h} \sum_{L \in \mathcal{T}} \int_L \mu_h \vec{q}_h \cdot \vec{n} \, dL = \sum_{L \in \Gamma_N} \int_L q_N \mu_h \, dL \quad \forall \mu_h \in L^h \end{array} \right.$$

RT_0 est l'espace de Raviart-Thomas de plus bas degré.

- **Etape 1** : Résoudre un système linéaire avec une matrice **symétrique définie positive** pour λ_h .
- **Etape 2** : Résoudre un système linéaire 3×3 sur chaque **élément** pour obtenir \vec{q}_h et p_h .

- Approximation **explicite** pour le terme de **Convection** : Schéma de Godunov.
- Approximation EF \mathcal{P}_1 **implicite** pour le terme de **Diffusion**.

SVF Semi-Implicite :

$$S_{M_j^{n+1}} = \frac{\phi_{M_j}^n \rho_{w,M_j}^n}{\phi_{M_j}^{n+1} \rho_{w,M_j}^{n+1}} S_{M_j^n} + \frac{\Delta t_n}{\phi_{M_j}^{n+1} |M_j|} \sum_{I \in \partial M_j} (f_w(S_{M_I}^n) - f_w(S_{M_j}^n)) (-\vec{q}_I \cdot \vec{n}_{M_j,I})^+ |I|$$

$$+ \frac{\Delta t_n}{\phi_{M_j}^{n+1} |M_j|} \sum_{I \in \partial M_j \setminus \Gamma} \mathbf{K}(\mathbf{x})_I \left(\alpha(S_{M_I}^{n+1}) - \alpha(S_{M_j}^{n+1}) \right) \frac{D_{M_j,I}}{\delta_{M_j,I}} |I|$$

où $D_{M_j,I} = -\frac{|T|}{|I|} \delta_{M_j,I} \nabla N_{M_I,T} \cdot K_T \nabla N_{M_j,T}$ avec $N_{\Omega_I,T}$ sont les fonctions de base d'élément fini \mathcal{P}_1 et $K_T = \frac{1}{|T|} \int_T \mathbf{K}(\mathbf{x}) dT$.

- Pour cette approximation on a : $0 < D_- \leq D_{M_j,I} \leq D^+ < \infty$.
- Conservation de la masse sur chaque élément, **principe du maximum** discret, hétérogénéités **anisotropiques** .

- Sous certaines hypothèses sur les données et la condition

$$CFL := \frac{\Delta t_n}{h} \left(C_{q,h}^n \sup_{0 \leq S \leq 1} f'_w(S) \right) \leq 1$$

$$C_{q,h}^n = \max_{M_j} \sum_{I \in \partial M_j} \frac{h |I| (-\vec{q}_I \cdot \vec{n}_{M_j, I})^+}{\phi_M^{n+1} |M_j|}$$

le schéma est L^∞ stable, de plus,

$$0 \leq S_{M_j}^n \leq 1, \forall n, j$$

- Sous certaines hypothèses sur les données et la condition **CFL**, nous avons les estimations **BV** suivantes :

$$\sum_{n,j} \Delta t^n |M_j| \left(\alpha(S_{M_j}^{n+1}) - \alpha(S_{M_j}^n) \right)^2 \leq C \Delta t,$$
$$\sum_{n,j} \Delta t^n |I| \left(\alpha(S_{M_I}^n) - \alpha(S_{M_j}^n) \right)^2 \leq Ch,$$

Théorème

Sous certaines hypothèses sur les données et la condition CFL la solution approchée S_h converge vers S dans $L^2(Q)$, \vec{q}_h converge vers \vec{q} et p_h converge vers p qd h et Δt tendent vers zero.

- **Idée de la preuve :** On utilise une formulation faible pour l'équation de saturation et pour l'équation de pression, le processus de convergence est obtenu en utilisant la stabilité L^∞ , estimations BV

Résultats Numériques Test : CU



Figure: Domaine de calcul

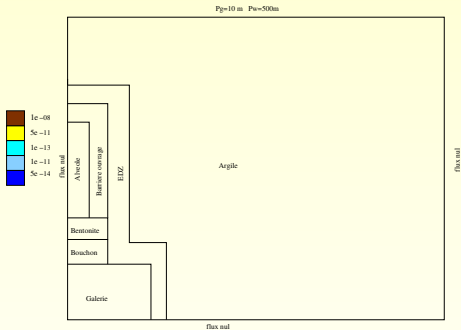
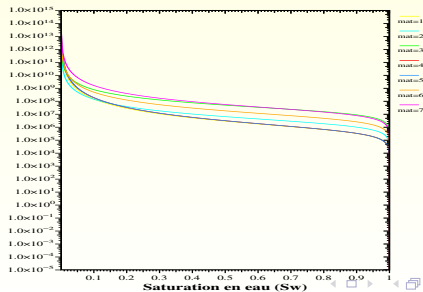
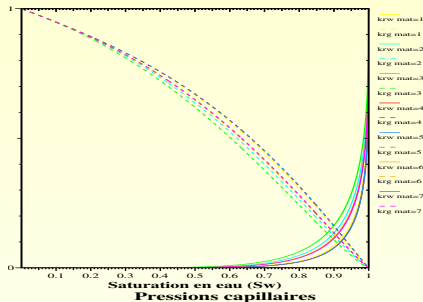


Figure: Conditions initiales et aux bords

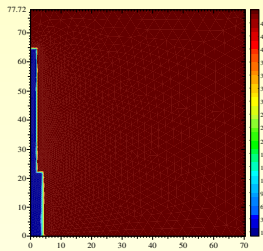
Paramètres physiques retenus

| | | | | | | | | |
|-------------------|-----|-------------------|---------------------|---------------------|----------|----------|----------|--|
| 1.000e+00 | | | | | | | | # Viscosite de l'eau # |
| 1.0000e-02 | | | | | | | | # Viscosite du gaz # |
| 1.000e+03 | | | | | | | | # Densite de l'eau # |
| 8.0000e-02 | | | | | | | | # Densite du gaz # |
| 0.0000e+00 | | | | | | | | # Coeff. de compressibilites de l'eau # |
| 8.0000e-03 | | | | | | | | # Coeff. de compressibilites du gaz # |
| 2.3000e-06 | | | | | | | | # Coeff. de compressibilites du solide # |
| Kxx | Kxy | Kyy | ϕ | P_e | n_{VG} | S_{wr} | S_{gr} | |
| 5e ⁻⁰⁹ | 0.0 | 5e ⁻⁰⁹ | 3.5e ⁻⁰¹ | 6.0e ⁺⁰¹ | 1.417 | 0.0 | 0.0 | (galerie) |
| 1e ⁻¹¹ | 0.0 | 1e ⁻¹¹ | 1.5e ⁻⁰¹ | 2.0e ⁺⁰² | 1.54 | 0.0 | 0.0 | (bouchon) |
| 1e ⁻¹³ | 0.0 | 1e ⁻¹³ | 3.5e ⁻⁰¹ | 1.8e ⁺⁰³ | 1.61 | 0.0 | 0.0 | (bentonite) |
| 5e ⁻⁰⁹ | 0.0 | 5e ⁻⁰⁹ | 3.6e ⁻⁰¹ | 6.0e ⁺⁰¹ | 1.40 | 0.0 | 0.0 | (alveole) |
| 5e ⁻⁰⁹ | 0.0 | 5e ⁻⁰⁹ | 3.6e ⁻⁰¹ | 6.0e ⁺⁰¹ | 1.40 | 0.0 | 0.0 | (BO) |
| 5e ⁻¹¹ | 0.0 | 5e ⁻¹¹ | 1.6e ⁻⁰¹ | 5.0e ⁺⁰¹ | 1.50 | 0.0 | 0.0 | (EDZ) |
| 5e ⁻¹⁴ | 0.0 | 5e ⁻¹⁴ | 1.5e ⁻⁰¹ | 1.5e ⁺⁰³ | 1.49 | 0.0 | 0.0 | (argile) |

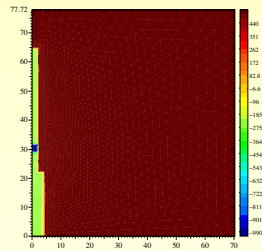
Les perméabilités relatives



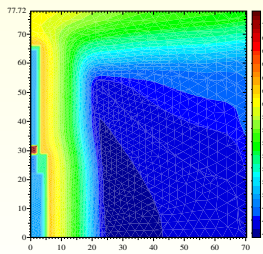
Pressure of gaz (m) at T=0.000000e+00



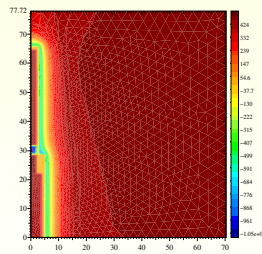
Pressure of water (m) at T=0.000000e+00"years



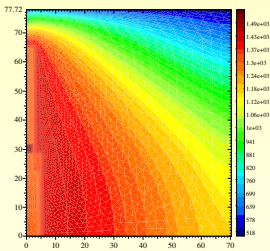
Pressure of gaz (m) at T=1.050413e+03



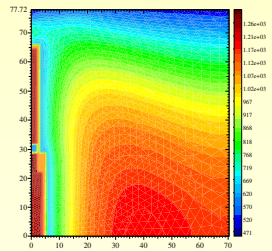
Pressure of water (m) at T=1.050413e+03"years



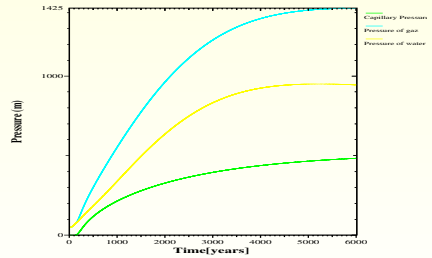
Pressure of gas (m) at $T=6.016000e+03$



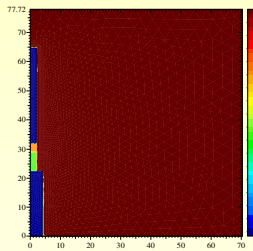
Pressure of water (m) at $T=6.016000e+03$'s years



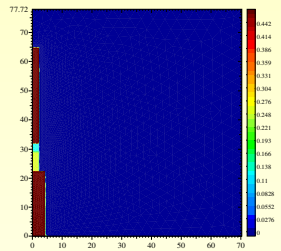
Temporal evolution of p_w , p_g and P_c



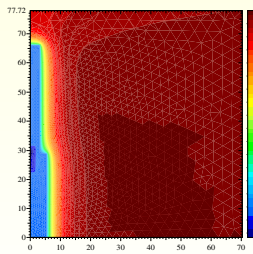
Saturation of water at t=0.0 years



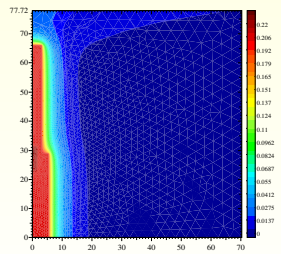
Saturation of gas at t=0.0 years



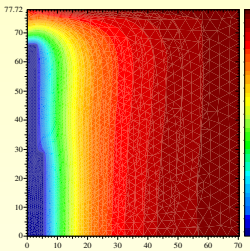
Saturation of water about 1000 years



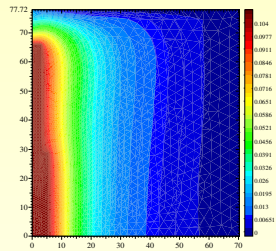
Saturation of gas about 1000 years



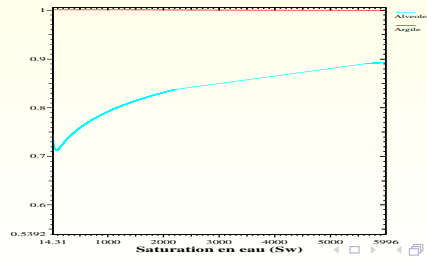
Saturation of water about 6000 years



Saturation of gaz about 6000 years



Temporal evolution of water saturation



Résultats Numériques Test : Couplex-gaz

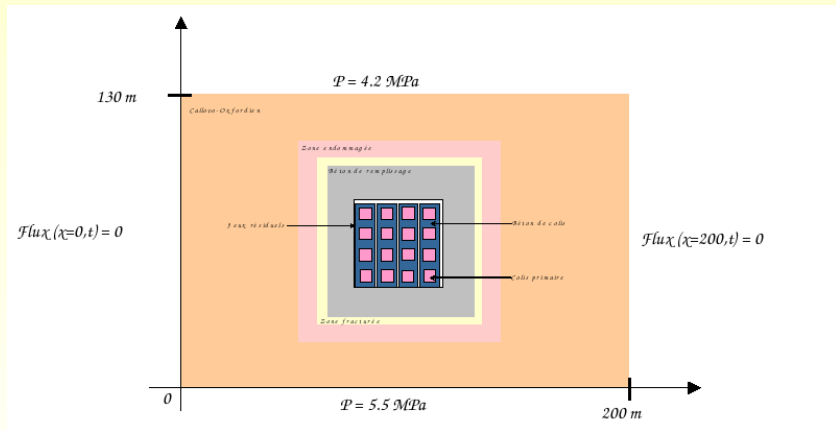
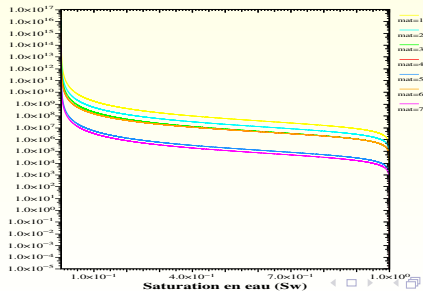
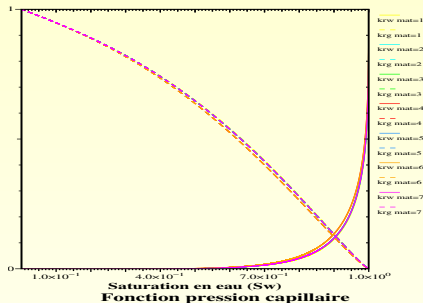


Figure: Conditions initiales et aux bords

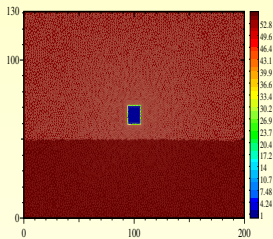
Paramètres physiques retenus

| | | | | | | | | |
|-------------|-----|--|--------------|---------------|----------|----------|----------|------------------|
| 7.9800e-04 | # | Viscosite de l'eau # | | | | | | |
| 9.0000e-06 | # | Viscosite du gaz # | | | | | | |
| 9.9571e+02 | # | Densite de l'eau # | | | | | | |
| 3.16000e-07 | # | Densite du gaz # | | | | | | |
| 4.5000e-10 | # | Coeff. de compressibilites de l'eau # | | | | | | |
| 1.0000e-07 | # | Coeff. de compressibilites du gaz # | | | | | | |
| 4.5000e-10 | # | Coeff. de compressibilites du solide # | | | | | | |
| Kxx | Kxy | Kyy | ϕ | P_e | n_{VG} | S_{wr} | S_{gr} | |
| $5e^{-21}$ | 0.0 | $5e^{-20}$ | $1.5e^{-01}$ | $15.0e^{+06}$ | 1.5 | 0.4 | 0.0 | (COX) |
| $1e^{-18}$ | 0.0 | $1e^{-18}$ | $1.5e^{-01}$ | $5.0e^{+06}$ | 1.5 | 0.2 | 0.0 | (EDZE) |
| $1e^{-16}$ | 0.0 | $1e^{-16}$ | $1.6e^{-01}$ | $2.0e^{+06}$ | 1.5 | 0.1 | 0.0 | (EDZR) |
| $1e^{-18}$ | 0.0 | $1e^{-18}$ | $3.0e^{-01}$ | $2.0e^{+06}$ | 1.54 | 0.01 | 0.0 | (Béton) |
| $1e^{-12}$ | 0.0 | $1e^{-12}$ | $1.0e^{+00}$ | $5.0e^{+04}$ | 1.50 | 0.01 | 0.0 | (Jeux) |
| $1e^{-19}$ | 0.0 | $1e^{-19}$ | $1.5e^{-01}$ | $2.0e^{+06}$ | 1.54 | 0.01 | 0.0 | (Béton de colis) |
| $1e^{-15}$ | 0.0 | $1e^{-15}$ | $2.5e^{-01}$ | $3.0e^{+04}$ | 1.5 | 0.01 | 0.0 | (Alveole) |

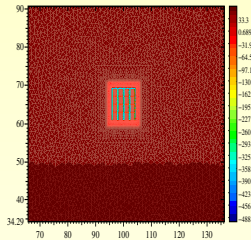
Permeabilites relatives



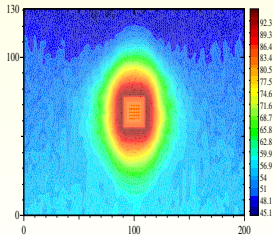
Pressure of gaz (bar) at $T=0.000000e+00$



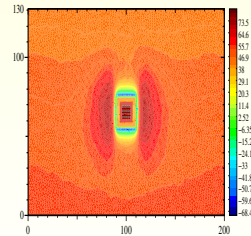
Pressure of water (bar) at $T=0.000000e+00$



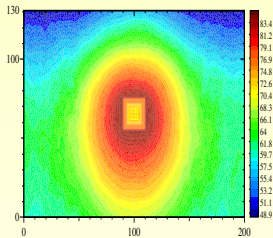
Pressure of gaz (bar) at $T=5.000000e+02$



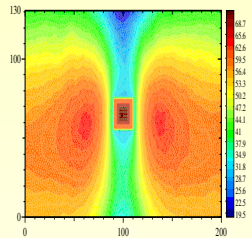
Pressure of water (bar) at $T=5.000000e+02$



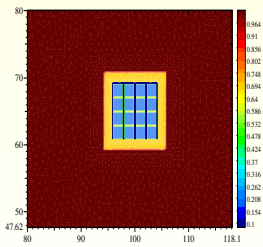
Pressure of gaz (bar) at T=1.000000e+04



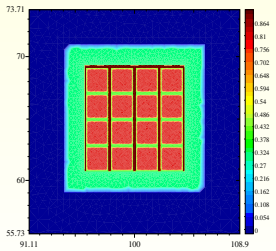
Pressure of water (bar) at T=1.000000e+04''years



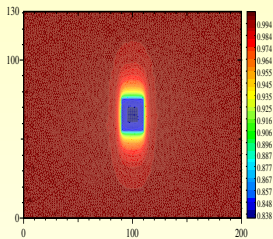
Saturation of water: step = 0, t=0.000000''years



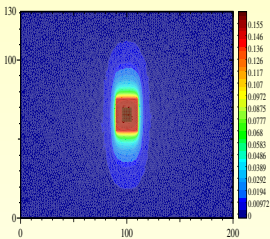
Saturation of gaz: step = 0, t=0.000000''years



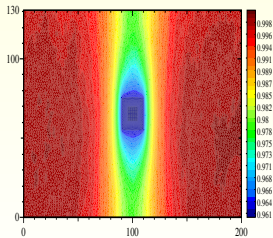
Saturation of water: $t=510.000000''$ years



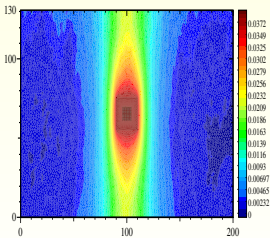
Saturation of gaz: $t=510.000000''$ years



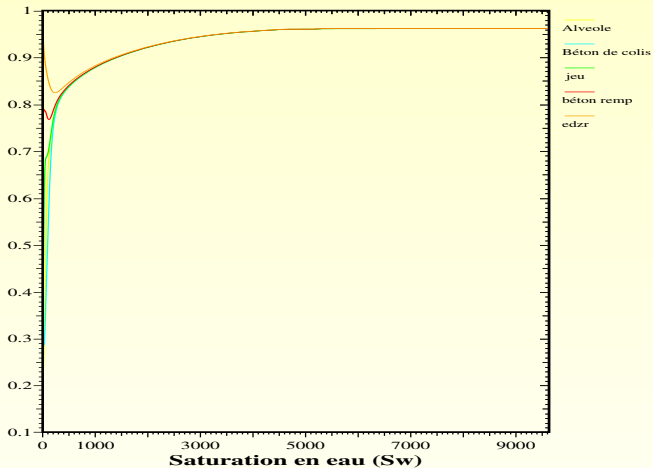
Saturation of water about 10 000 years



Saturation of gaz about 10000 years



Temporal evolution of water saturation



CONCLUSION ET PERSPECTIVES

- Développement d'un schéma **IMPES EFMH-VF** pour un écoulement diphasique sans échange.
- Application pour simuler le transfert du gaz autour d'un stockage des déchets nucléaires.
- Stabilité, estimations L^∞ et BV et Convergence.

Perspectives

- Choix d'un modèle compositionnel.
- Développement d'un schéma VF Implicite pour un écoulement diphasique eau-gaz avec échange
- Application : exercice Couplex-Gaz